

05:06;07;12

**ИСПОЛЬЗОВАНИЕ СЛОЕВ  
АМОРФНОГО ГИДРИРОВАННОГО  
КАРБИДА КРЕМНИЯ ( $a\text{-Si : C : H}$ )  
В ПРОСТРАНСТВЕННО-ВРЕМЕННЫХ  
МОДУЛЯТОРАХ СВЕТА**

© Н.Л.Иванова, Л.Е.Морозова, А.П.Онохов,  
А.Б.Певцов, Н.А.Феоктистов

Оптические модуляторы (ОМ) на основе жидкких кристаллов (ЖК) применяются для обработки оптической информации [1–4]. Использование в качестве фоточувствительного слоя аморфного гидрированного кремния ( $a\text{-Si:H}$ ) и  $p\text{-}i\text{-}n$ -структур на его основе позволяет получать максимальное быстродействие  $\sim 0.1$  мс (ограниченное временем релаксации в ЖК) при высокой разрешающей способности (40 лин/мм), контрастности (20:1) [2]. Для получения оптимальных характеристик ОМ требуется согласование проводимости слоев  $p\text{-}i\text{-}n$ -структуры и ЖК. В первую очередь необходимо обеспечить низкую темновую проводимость  $i$ -слоя для предотвращения расплывания изображения. Решению этой задачи способствует применение более широкозонных пленок  $a\text{-Si:C:H}$  [3].

Кроме того, применение таких ОМ для задач, связанных со считыванием в видимой области спектра, наталкивается на ряд сложностей, которые вызваны проникновением считающего света в фоточувствительный слой. Чтобы устранить влияние считающего света, используют особые режимы работы ОМ [4], а также отражающие зеркала [1].

В настоящей работе описаны ОМ, в которых использованы  $p\text{-}i\text{-}n$ -структуры на основе  $a\text{-Si:C:H}$ , что позволяет облегчить решение вышеуказанных проблем. Действительно, используя пленки  $a\text{-Si:C:H}$  с разной концентрацией в них углерода, можно варьировать их проводимость в широких пределах [5] и добиться необходимой слоевой проводимости. К тому же пленки  $a\text{-Si:C:H}$  обладают меньшим коэффициентом поглощения в красной области, что позволяет использовать красный свет большей интенсивности для считывания.

Последовательность слоев в изготовленных ОМ изображена на рис. 1. На две стеклянные шайбы диаметром 20–30 мм наносился слой прозрачного проводящего окисла

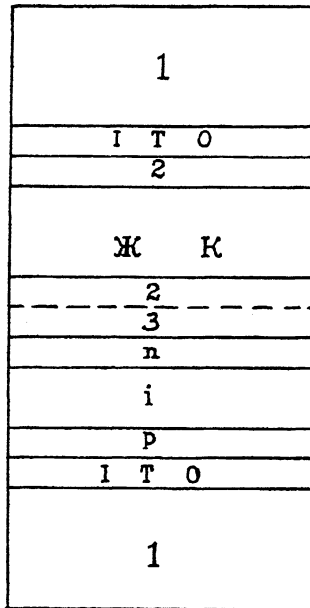


Рис. 1. Последовательность слоев оптического модулятора с  $p-i-n$ -структурой на основе  $a\text{-Si:C:H}$ : 1 — стеклянные или кварцевые шайбы, 2 — слой ориентанта, 3 — мозаичный слой Al.

(110). После чего на одну из шайб напылялся слой ориентанта с подобранный проводимостью  $a$ , на другую шайбу последовательно наносились слои легированного бором ( $p$ ), нелегированного ( $i$ ), легированного фосфором ( $n$ )  $a\text{-Si:C:H}$ , мозаичный слой Al с коэффициентом отражения 90%, а затем напылялся слой ориентанта.

После этого между двумя стеклянными шайбами с напыленными на них слоями вводился слой нематического ЖК-1282 ( $\delta\varepsilon = 9.9$ ,  $\delta n = 0.164$ ). Толщина слоя ЖК задавалась диэлектрическими прокладками и составляла 2–3 мкм. Ориентант  $\text{CeO}_2$  толщиной 400 А наносился методом косого лазерного напыления.

Слои  $a\text{-Si:C:H}$  напылялись методом высокочастотного разложения силана в многокамерной установке. Толщина  $p$ -слоя была 200 А,  $n$ -слоя 100–150 А,  $i$ -слоя 1–2 мкм. Концентрация углерода в пленках варьировалась изменением потоков метаносодержащей и силаносодержащей газовых смесей. Отношение  $K\text{-CH}_4/(SiH_4 + CH_4)$  варьировалось в пределах 0–45%. В легированные слои углерод вводился как для увеличения пропускания в коротковолновой области спектра ( $p$ -слой), так и для уменьшения проводимости

*n*-слоя. Последнее необходимо для повышения слоевого сопротивления пленок *n*-типа, чтобы избежать их закорачивающего влияния. Слоевое сопротивление этих пленок было  $> 10^{10}$  Ом/квадрат.

Для получения необходимых характеристик *p-i-n*-структур было исследовано влияние состава газовой смеси на их темновые вольт-амперные и спектральные характеристики. В работе [6] были представлены результаты влияния состава газовой смеси на проводимость и оптические характеристики полученных пленок *a-Si:C:H*. По мере увеличения содержания метана в газовой смеси проводимость уменьшалась до величин  $< 10^{-12}$  Ом $^{-1} \cdot$  см $^{-1}$  ( $K > 30\%$ ) для нелегированных пленок, а для легированных фосфором до значений  $\sim 10^{-9}$  Ом $^{-1} \cdot$  см $^{-1}$ . При этом пленки становились более широкозонными, вследствие чего уменьшалось поглощение в красной области спектра. Были исследованы *p-i-n*-структуры с толстым *i*-слоем (1–2 мкм), полученным при разных значениях  $K$ . Показано, что увеличение относительного содержания метана в газовой смеси до величин  $K = 40\%$  позволяет получать *p-i-n*-структуры с удовлетворительными световыми и темновыми характеристиками: отношение фототока к темновому при засветке "белым" светом 200 лк и обратном смещении 5–10 В составляло  $> 10^5$ , величины обратных темновых токов этих структур были менее  $10^{-8}$  А/см $^2$  ( $U = -10$  В).

На рис. 2 для сравнения представлены спектральные зависимости *p-i-n*-структур, содержащих углерод в *i*-слое и без углерода. Приведена кривая для  $K = 30\%$  (кривая 2). В этом случае слои *a-Si:C:H* обладали проводимостью  $10^{-11} - 10^{-12}$  Ом $^{-1} \cdot$  см $^{-1}$  и все еще не ограничивали быстродействие ЖК. Как видно из рисунка, максимум спектральной зависимости *p-i-n*-структур на основе *a-Si:C:H* смешен в более коротковолновую область спектра и немногим меньше по величине, чем для *p-i-n*-структур на основе *a-Si:H*. Однако это понижение абсолютной чувствительности структур на основе *a-Si:C:H* компенсируется более низким значением темновых обратных токов этих структур, вследствие чего относительная чувствительность в максимуме спектральной зависимости таких структур оказывается даже выше, чем у *p-i-n*-структур без углерода в *i*-слое. В области длинных волн ( $\lambda > 0.6$  мкм) чувствительность *a-Si:C:H p-i-n*-структур была значительно меньше, чем для *a-Si:H p-i-n*-структур.

Для уменьшения влияния считывающего света (освещение со стороны *n*-слоя *p-i-n*-структур) применялись металлические мозаичные зеркала, напыляемые поверх *p-i-n*-структур, а также проводящие зеркала на основе

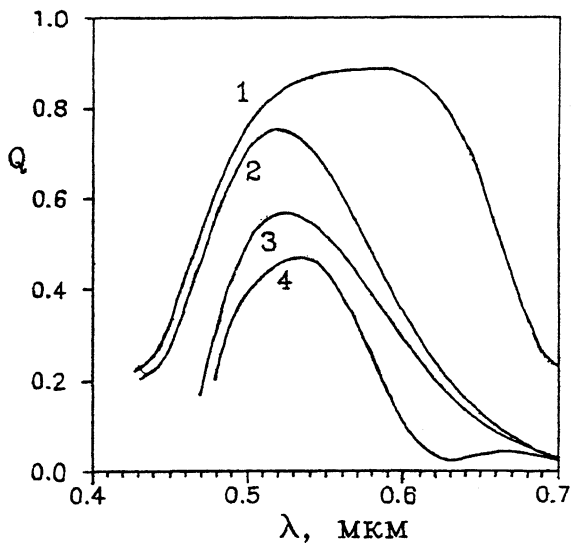


Рис. 2. Спектральные зависимости коэффициента собирания ( $Q$ )  $p$ - $i$ - $n$ -структур на основе  $a$ -Si:H и  $a$ -Si:C:H при обратном смещении  $-5$  В. Кривые 1, 2 — фронтальное освещение (со стороны  $p$ -слоя); кривая 1 —  $i$ -слой из  $a$ -Si:H, кривая 2 —  $i$ -слой из  $a$ -Si:C:H; 3, 4 — тыльное освещение (со стороны  $n$ -слоя); кривая 3 —  $p$ - $i$ - $n$ -структура на основе  $a$ -Si:C:H, кривая 4 —  $p$ - $i$ - $n$ -структура на основе  $a$ -Si:C:H, содержащая 5-слойное зеркало.

пленок  $a$ -Si:C:H [6]. Такие отражательные системы изготавливались напылением слоев толщиной  $\lambda/4n$  при вариациях содержания метана в рабочей смеси. Имелась возможность изготавливать такие зеркала в едином цикле напыления всей  $p$ - $i$ - $n$ -структуры, причем отражательная структура могла представлять собой как часть  $i$ -слоя, так и  $n$ -слоя.

На рис. 2 кривыми 3 и 4 представлены спектральные зависимости коэффициента собирания при тыльном освещении (со стороны  $n$ -слоя)  $p$ - $i$ - $n$ -структур без (кривая 3) и с отражательной системой из 5 слоев  $a$ -Si:C:H. Как видно из рисунка, введение такого зеркала уменьшает тыльную чувствительность в области  $\lambda = 0.63$  мкм. При этом фронтальная (освещение со стороны  $p$ -слоя) фоточувствительность не изменяется.

Оптические модуляторы, использующие  $a$ -Si:C:H  $p$ - $i$ - $n$ -структуры, обладали следующими характеристиками: рабочая частота до 50 Гц, контраст до 30:1, разрешающая способность 50–55 лин/мм. Эти данные были получены по проекционной методике. Стандартная телевизионная тест-таблица проецировалась на граниту ФП-ЖК. Запись проводилась белым светом, считывание — светом Не-Не лазе-

ра. Приведенные данные не являются предельными для данных модуляторов, а представляют собой результаты опечочных измерений. В настоящее время проводятся исследования модуляторов по голограммической методике и данные измерений будут представлены в отдельной публикации.

Таким образом, использование слоев *a*-Si:C:H и отражательных систем на их основе позволяет облегчить согласование *p-i-n*-структуры и ЖК в оптическом модуляторе и уменьшить тыльную фоточувствительность *p-i-n*-структур в красной области спектра, что позволяет повысить интенсивность считывающего света в диапазоне длин волн > 0.6 мкм.

### Список литературы

- [1] *Takahashi N.S., Asada H., Miyahara M., Kurita S.* // *Appl. Phys. Lett.* 1987. V. 51. N 16. P. 1233.
- [2] *Moddel G., Johnson K.M., Li W., Rice R.A., Payano-Stauffer L.A., Handschy M.A.* // *Appl. Phys. Lett.* 1989. V. 55. N 6. P. 537.
- [3] *Akiyama K., Takimoto A., Ogiwara A., Ogawa H.* // *Jpn. J. Appl. Phys.* 1993. 32(parti). N B. P. 590.
- [4] *Abdulhalim I., Moddel G., Johnson K.M.* // *Appl. Phys. Lett.* V. 1989. V. 55. N16. P. 1603.
- [5] Аморфные полупроводники и приборы на их основе / Под ред И. Хамакавы. Металлургия, 1986. 376 с.
- [6] *Феоктистов Н.А., Морозова Л.Е.* // *Письма ЖТФ.* 1994. V. 20. B. 5. P. 12.

Физико-технический  
институт им. А.Ф. Иоффе РАН  
С.-Петербург

Поступило в Редакцию  
23 мая 1995 г.